

# کانی شناسی، زمین شیمی و کاربردهای صنعتی کانسنگ‌های بوکسیت درزی ولی، خاور بوکان، شمال باخته ایران

علی عابدینی<sup>۱</sup>، صمد علیپور<sup>۱</sup> و مرویم خسروی<sup>۲</sup>

<sup>۱</sup> دانشیار، گروه زمین شناسی، دانشکده علوم، دانشگاه ارومیه، ارومیه، ایران

<sup>۲</sup> کارشناسی ارشد، گروه زمین شناسی، دانشکده علوم، دانشگاه ارومیه، ارومیه، ایران

تاریخ پذیرش: ۱۳۹۱/۰۹/۰۶

تاریخ دریافت: ۱۳۹۲/۰۲/۱۷

## چکیده

نهشته بوکسیت درزی ولی، در فاصله ۲۰ کیلومتری خاور بوکان، جنوب استان آذربایجان غربی (شمال باخته ایران) واقع شده است. این نهشته به صورت لایه‌ها و عدسی‌های منفصل چینه‌سان در درون سنگ‌های کربناتی سازند روته (پرمین بالایی) گسترش یافته است. مطالعات کانی شناسی نشان می‌دهند که آب‌های سطحی با ماهیت اکسیدی-اسیدی و آب‌های زیرزمینی با ماهیت بازی-احیا نقش بارزی در توسعه و تکامل این نهشته ایفا نموده‌اند. بر اساس شواهد صحرایی و مطالعات زمین شیمیایی، سنگ‌های بازالتی محتمل ترین سنگ مادر این نهشته هستند. محاسبات فاکتور غنی‌شدگی آشکار می‌کند که عناصر Si, Al, Na, Mg, Ca, K, Rb, Co, Mn, Th, V, Zr, Ga, Cr, Ti, P, Ba, Ni, Fe و Y متحمل فرایندهای شستشو-ثبیت شده‌اند. نتایج بدست آمده نشان می‌دهند که عواملی مانند جذب سطحی، رویش، تمکزهای بازماندی، بافرینگ محلول‌های هوازده کننده توسط سنگ بستر کربناتی، کنترل کانیابی، تفاوت در شدت دگرسانی، مواد آلی، و نوسانات سطح سفره آب‌های زیرزمینی نقش ارزنده‌ای در توزیع عناصر اصلی، فرعی، و جزئی در این نهشته ایفا نموده‌اند. این مطالعه همچنین آشکار می‌کند که کانسنگ‌های فقیر از آهن و غنی از آهن این نهشته به ترتیب ویژگی‌های مناسبی برای استفاده در صنایع دیرگداز و سیمان را دارا هستند.

**کلیدواژه‌ها:** بوکسیت، زمین شیمی، توزیع عناصر، کاربردهای صنعتی، درزی ولی، بوکان.

\*نویسنده مسئول: علی عابدینی

E-mail: abedini2020@yahoo.com

## -۲- روش مطالعه

مطالعه کانسنگ‌های بوکسیتی در منطقه درزی ولی در دو بخش صحرایی و آزمایشگاهی انجام شده است. بخش صحرایی شامل بررسی شکل و هندسه نهشته، نقش فرایندهای زمین‌ساختی در ریخت‌شناسی کانسنگ‌ها، تیپ‌های کانسنگی حاضر در منطقه، نمونه‌گیری از سنگ‌های آذرین منطقه، روابط صحرایی، نمونه‌گیری‌های پراکنده و غیر سیستماتیک از کلیه لایه‌ها و عدسی‌های بوکسیتی، و در نهایت، انتخاب یک نیمرخ مناسب به ستبرای ۸ متر (عمود بر امتداد یکی از لایه‌های بوکسیتی که کلیه انواع کانسنگی حاضر در محدوده مورد مطالعه را تحت پوشش قرار می‌دهد) جهت نمونه‌گیری سیستماتیک بوده است. در این بخش ۸۰ نمونه سنگی بر اساس تغییرات در ویژگی‌های فیزیکی نظری رنگ، چگالی، سختی و بافت از کانسنگ‌ها و سنگ‌های همراه برداشت شدند. بخش آزمایشگاهی با شناسایی ترکیب کانی شناسی کانسنگ‌ها با استفاده از آنالیز پراش پرتو X (XRD) به تعداد ۱۹ نمونه در شرکت کانسaran بینالود شروع گردید. پس از آن، برای مطالعات زمین شیمیایی و تعیین کاربردهای احتمالی نهشته، مبادرت به انجام آنالیزهای طیف‌سنج انتشار اتمی پلاسمای جفت شده القایی (ICP-AES) (با کد آنالیز ۰۶ ICP-OES) و طیف‌سنج جرمی پلاسمایی جفت شده القایی (ICP-MS) (با کد آنالیز ۸۱ ICP-MS) به تعداد ۱۵ نمونه از کانسنگ‌ها در نیمرخ انتخابی و ۱ نمونه از سنگ‌های آذرین منطقه به ترتیب برای تعیین مقادیر عناصر اصلی و فرعی، و جزئی در آزمایشگاه شرکت ALS Chemex کشور کانادا شد. مقادیر LOI نمونه‌های یاد شده توسط شرکت یاد شده با اندازه‌گیری پیش و پس از حرارت دادن (۱۰۰ درجه سانتی گراد به مدت یک ساعت) محاسبه شدند. نتایج تجزیه‌های شیمیایی عناصر اصلی، فرعی و جزئی به ترتیب در جدول‌های ۱ و ۲ ارائه شده‌اند. در این بررسی، افزون بر انجام کارهای یاد شده بالا، برای تفسیرهای زمین شیمیایی، ضرایب همبستگی اسپیرمن بین برخی از عناصر با استفاده از نرم افزار SPSS، محاسبه شد (جدول ۳).

## ۱- پیش گفتار

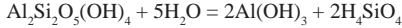
منطقه درزی ولی، به مختصات جغرافیایی "۵۱°، ۲۰'، ۴۶°، ۲۳'، ۵۳°، ۲۶' طول خاوری و "۳۰°، ۳۲'، ۳۶°، ۳۳' عرض شمالی، در فاصله ۲۰ کیلومتری خاور شهرستان بوکان، جنوب استان آذربایجان غربی (شمال باخته ایران) واقع شده است. وقفه‌های رسوب‌گذاری در مقطع زمانی پرمین در این منطقه با تشکیل و توسعه یک نهشته بازماندی با ترکیب بوکسیتی در داخل سنگ‌های کربناتی روته همراه بوده است (شکل ۱). تا به حال مطالعات انگشت‌شمایر بر روی مسائل زمین‌شناسی این نهشته توسط پژوهشگران مختلف صورت گرفته است. مطالعات زمین‌شناسی ناحیه‌ای، بررسی‌های زمین‌آماری و اکتشافات چکشی به منظور شناسایی کانسنگ‌های بوکسیتی در این منطقه و مناطق مجاور به ترتیب توسط Balkay & Samimi (1972)، افخارنژاد (۱۳۵۵)، حسامی (۱۳۷۰) و آقابنایی (۱۳۸۵) انجام شده است. همچنین، بررسی‌های کانی شناسی و زمین‌شیمی نهشته‌های بوکسیتی، لاتریتی و کاتولینیتی در مناطق مجاور منطقه درزی ولی به تفصیل توسط پژوهشگرانی نظری (1977)، Kamineni & Efthekhar-Nezad (۱۳۸۷)، عابدینی و کلاگری (۱۳۸۸) و همکاران (۱۳۹۱)، عابدینی و Calagari & Abedini (2007) و Abedini & Calagari (2013a, b, c) انجام شده است. مورود توجه قرار گرفته است. در سال‌های اخیر، کارهای تحقیقاتی گستره‌های روی کانی شناسی و کنترل کننده‌های زمین شیمیایی مؤثر در توزیع عناصر اصلی، فرعی، و جزئی در نهشته‌های بوکسیتی در نقاط مختلف دنیا صورت گرفته است (Muzaffer-Karadag et al., 2009; Zaravandi et al., 2008, 2010; Mameli et al., 2007; Calagari et al., 2010; Muzaffer-Karadag et al., 2009; Zaravandi et al., 2008, 2010). تا به حال چنین مطالعاتی بر روی نهشته بوکسیتی درزی ولی بوکان انجام نشده است. این مقاله به بررسی کانی شناسی، فاکتورهای کنترل کننده تحرک، توزیع و غنی‌شدگی عناصر اصلی، فرعی و جزئی در طی تکوین و توسعه کانسنگ‌های این نهشته و تعیین کاربردهای احتمالی آنها با استفاده از داده‌های زمین شیمیایی می‌پردازد.

### ۳- زمین‌شناسی

بوکسیت پرمن در منطقه بوکان هستند. حضور سنگ‌هایی با ترکیب بازالت در درون سنگ‌های کربناتی سازند روته در منطقه مورد مطالعه می‌تواند این نکته را در ذهن تداعی نماید که سنگ‌های یاد شده می‌توانند محتمل ترین سنگ مادر نهشته بوکسیت درزی‌ولی باشند. در این بررسی، برای اثبات صحت و سقم این مسئله از نمودارهای مختلف زمین‌شیمیایی استفاده شد. رسم مقادیر Cr و Ni کانسنگ‌ها در نمودار دو متغیره Ni-Cr (Schroll & Sauer, 1968) نشان می‌دهد که این نهشته احتمالاً از سنگی با ترکیب بازالت به وجود آمده است (شکل ۴). علاوه بر این، ترسیم مقادیر متوسط عناصر Zr, Ga, Cr کانسنگ‌های مورد مطالعه در نمودار سه متغیره Zr-Ga-Cr (Özlu, 1983) حکایت از آن دارد که نهشته بوکسیت درزی‌ولی در محدوده اثر سنگ‌های مادر آذربین مافیک و لاتریت‌های نشأت گرفته از بازالت قرار می‌گیرد (شکل ۵). همچنین ترسیم مقادیر Ti و Zr کانسنگ‌های بوکسیتی در نمودار Ti-Zr (Hallberg, 1984) نیز نشان دهنده یک منشأ بازالتی برای این نهشته است. با توجه به طالب گفته شده بالا، می‌توان ادعا نمود که سنگ‌های بازالتی حاضر در درون سنگ‌های کربناتی سازند روته در این منطقه محتمل ترین سنگ مادر این نهشته بوکسیتی هستند.

### ۴- جبهه‌های ژئوتکنیکی کانی‌سازی

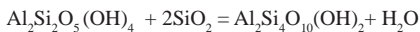
حضور مقادیر بالایی از کانی‌های سیلیکاتی در کانسنگ‌ها حکایت از آن دارد که نهشته مورد مطالعه از نظر تکوینی نارس بوده و در طی مراحل تشکیل و تکامل خود از هوازدگی سنگ‌های اوپله، از زهکشی خوبی برخوردار نبوده و بیشتر کانی‌های حد واسط در حین تبدیل سنگ مادر به کانسنگ‌های بازماندی به دلیل کند بودن فرایند هوازدگی حفظ شده‌اند. با توجه به وجود همیری آشکار و مشخص بین نهشته با سنگ‌های درونگیر، گیسیت به احتمال فراوان اولین کانی آلومینی آزاد تشکیل شده در طی تکوین این نهشته بوده که خود به واسطه هوازدگی مستقیم فلدسپارها و یا از سیلیس زدایی کانی‌های کانولینیت حاصل شده است (Voicu et al., 1997):



Kaolinite

Gibbsite

کانولینیت در کانسنگ‌های این نهشته به احتمال قوی از دگرسانی فلدسپار و مسکوویت شکل گرفته و خود مسکوویت محصول دگرسانی فلدسپار است. به نظر می‌رسد در طی آب‌زدایی به واسطه تراکم و فشارهای دیاژنیک، گیسیت‌های نشأت گرفته از دگرسانی کانولینیت‌ها به بوهیت تبدیل شده‌اند که در نهایت خود آنها نیز در نتیجه تغییر ساختار بلوری در اثر دیاژن و تنش‌های ساختمانی به طور بخشی به دیاسپور تبدیل گشته‌اند (Temur & Kansun, 2006). ظاهراً گیسیت‌ها در طی فعل و انفعالات یاد شده نتوانسته‌اند در امان بمانند و به همین دلیل آثاری از این کانی در آنالیزهای پراش پرتو X مشاهده نمی‌شود. از آنجایی که در منطقه مورد مطالعه آثاری از دگرگونی‌های تماسی و حرارتی مشاهده نشده و یا توسط پژوهشگران دیگر گزارش نشده است، از این رو به نظر می‌رسد ظهور کروندم در کانسنگ‌ها در ارتباط با عملکرد فرایندهای دیاژنیک و فشارهای دینامیکی بر روی دیاسپور باشد. پیروفیلیت به طور معمول در دماهای بالاتر از ۳۰۰ درجه سانتی گراد در شرایط دگرگونی و دگرسانی تشکیل می‌شود (Boulange et al., 1996). با توجه به عدم مشاهده آثاری از عملکرد فرایندهای دگرگونی بر روی نهشته و سنگ‌های درونگیر آن، این کانی به احتمال فراوان در اثر دگرشکلی‌های ساختاری و فشارهای دینامیکی وارد بر روی کانولینیت حاصل شده است. سیلیس لازم برای این تغییر و تبدیل توسط آب‌های زیرزمینی تأمین شده است (Balkay & Bardossy, 1967).



Kaolinite

Pyrophyllite

با رازترین واحدهای سنگی منطقه مورد مطالعه به ترتیب از قدیم به جدید شامل سازندهای ماسه‌سنگی، شیلی، کربناتی روته (پرمین بالایی)، شیلی، ماسه‌سنگی شمشک (ژوراسیک)، کنگلومرایی، شیلی (کرتاسه زیرین)، آهکی میکروکریستالیزه (کرتاسه بالایی) و رسوبات پلی‌کواترنری هستند (شکل ۱). نهشته بوکسیتی در این منطقه در درون سنگ‌های کربناتی روته قرار دارد (شکل ۱). از نظر ژئومتری، این نهشته به صورت لایه‌ها و عدسی‌های منفصل چینه‌سان (شکل ۲-الف و ب) به صورت پنج افق کاملاً مجزا، با سه روند NW-SE, NE-SW و E-W با سمتراپی متغیر از ۲ الی ۱۷ متر و در مجموع طولی بالغ بر ۱ کیلومتر به طور هم‌شیب در داخل واحدهای کربناتی سازند روته توسعه یافته‌اند. عملکرد سه گسل بر روی دو تا از این لایه‌ها سبب تبدیل آن دو افق به ۵ بلوک سنگی مجزا شده است (شکل ۱). مرز بین این بلوک‌ها در صوراً به واسطه توسعه نسبتاً شدید بافت‌های کاتاکلاستیک قابل تشخیص است. از جمله سیمه‌های زمین‌شناسی مهم این نهشته می‌توان به وجود مزهای کاملاً تند و مشخص بین لایه‌ها و عدسی‌های بازماندی با سنگ‌های درونگیر کربناتی و وجود آثاری از سنگ‌های آذربین بازالتی در درون سنگ‌های درونگیر کربناتی اشاره کرد. در یک نیم‌رخ انتخابی بر روی یکی از لایه‌های بازماندی، با توجه به رنگ و سایر ویژگی‌های فیزیکی، ۴ واحد سنگی مجزا تشخیص داده شد. این واحدهای سنگی به ترتیب از پایین به بالا شامل (۱) کانسنگ‌های قرمز قهوه‌ای، (۲) کانسنگ‌های کرم مایل به سبز، (۳) کانسنگ‌های سبز مایل به خاکستری و (۴) کانسنگ‌های سبز تیره هستند (شکل ۳). وجود رنگ‌های قرمز قهوه‌ای، کرم مایل به سبز، سبز مایل به خاکستری و سبز تیره، دلالت بر وجود شرایط متفاوت اکسیداسیون و احیا در تشکیل این نهشته دارد. از مهم‌ترین، سختی نسبتاً پایین، مزوسکوپی کانسنگ‌های قرمز قهوه‌ای می‌توان به جلای چرب، سختی نسبتاً پایین، اگرگات‌های خاکی، حضور آبیید، پیزویید و گرهک‌های آهن در سطح، آثاری از دندربیت‌های منگز، لیمونیت‌زایی، وجود خلل و فرج‌های شکل دار، و بافت کلوفرم و ماقروپیزوفیدی اشاره نمود. این در حالی است که کانسنگ‌های کرم مایل به سبز دارای سختی بالا، لمس صابونی، دندربیت‌های منگز، سطح شکست صدفی و بافت پلیتومورفیک می‌باشند. اگرگات‌های خاکی، لمس صابونی، و وجود بافت‌های پلیتومورفیک و جریانی از ویژگی‌های بازرنموده‌های دستی مربوط به کانسنگ‌های سبز مایل به خاکستری و بافت توده‌ای و آثاری از آبیید و پیزویید از مهم‌ترین ویژگی‌های مزوسکوپی کانسنگ‌های سبز تیره هستند.

### ۴- کانی‌شناسی نهشته

آنالیزهای پراش پرتو X (XRD) نشان می‌دهند کانسنگ‌های مورد بررسی از تنوع کانی‌شناسی نسبتاً خوبی برخوردار هستند. بر این اساس، نهشته بوکسیت درزی‌ولی از پنج دسته کانی تشکیل شده است که عبارتند از: (۱) هیدروکسیدها و اکسیدهای آلومینیم (دیاسپور، بوهمیت و کروندم)، (۲) هیدروکسیدها و اکسیدهای آهن (هماتیت و گوتیت)، (۳) اکسیدهای تیتانیم (روتیل و آناتاز)، (۴) سیلیکات‌ها (پیروفیلت، ایلیت، شاموزیت، کانولینیت، مسکوویت، کلریت و کوارتز) و (۵) کربنات‌ها (کلسیت و دولومیت) (جدول ۴). در این بین، کروندم تنها در کانسنگ‌های سبز مایل به خاکستری شناسایی شده است. بقیه کانی‌ها در هر چهار تیپ کانسنگی حضور دارند.

### ۵- بحث و بررسی

#### ۵-۱. سنگ مادر نهشته

بررسی‌های عابدینی (۱۳۸۷) و عابدینی و کلاگری (۱۳۹۰) نشان داده‌اند که سنگ‌هایی با ترکیب بازالت- آندزیزت محتمل ترین سنگ مادر برای نهشته‌های

بی تحرک Nb, Al, Ti, Zr و Hf در کانسنگ‌های مورد مطالعه نشان می‌دهد که مقادیر این عناصر در بازه نسبتاً وسیعی در تغییر است (جدول ۵). با توجه به این مسئله، در این مطالعه استفاده از روش محاسبات فاکتور غنی‌شدگی عناصر به روش‌های زمین‌شیمی تعادل جرم برای بررسی فاکتورهای کنترل کننده توزیع عناصر اصلی، فرعی، و جزئی ترجیح داده شد. بر این اساس، با در نظر گرفتن کانی‌شناسی سنگ‌های بازالتی که شامل کانی‌های پلاژیوکلاز، هورنبلاتد، فرومیزین (الیون و اوژیت)، کلریت، سریستیت، بیوتیت، کلسیت، آپاتیت، زیرکن و کانی‌های کدر (پیریت و ایلمینیت) هستند (عابدینی، ۱۳۸۷)، از رابطه زیر برای محاسبات فاکتور غنی‌شدگی عناصر استفاده شد:

$$E.F. (\text{Enrichment Factor}) = 100 \times [(X_w/X_p) - 1]$$

در فرمول یاد شده  $X_w$  و  $X_p$  به ترتیب بیانگر فراوانی عنصر مورد نظر در نمونه بوکسیتی و فراوانی عنصر مورد نظر در سنگ مادر بازالتی است. با توجه به نتایج بدست آمده از محاسبات فاکتور غنی‌شدگی عناصر، رفتار زمین‌شیمیایی عناصر در طی فرایندهای دگرسانی و هوازدگی سنگ‌های بازالتی را می‌توان به سه دسته کلی طبقه‌بندی کرد (شکل ۹):

- ۱- عناصر شسته شده- تثیت شده: P, Fe, Ba, Ni, و Y در طی فرایندهای هوازدگی سنگ‌های بازالتی متحمل فرایندهای شستشو- تثیت شده‌اند.
- ۲- عناصر تهی شده: Si, Ca, Mn, K, Na, Mg, Rb و Hf در طی فرایندهای بوکسیتی شدن به طور بخشی از سیستم خارج شده‌اند.

- ۳- عناصر غنی شده: Al, Ti, V, Ga, Th, Zr, Nb, U, و Cr در طی تکوین نهشته با غنی‌شدگی همراه شده‌اند.

### ۶-۵. فاکتورهای کنترل کننده تغییرات عناصر در طی بوکسیتی شدن

**• عناصر شسته شده- تثیت شده:** بررسی فاکتور غنی‌شدگی Fe نشان می‌دهد که این عنصر از بخش‌های بالایی نیمرخ شسته شده و در بخش‌های تحتانی غنی شده است (شکل ۹-الف). تحرک Fe احتمالاً توسط محیط نسبتاً اسیدی و در حضور مواد آلی صورت گرفته است (Ma et al., 2007). با در نظر گرفتن کانی‌شناسی سنگ مادر بازالتی، اکسیداسیون پیریت، و دگرسانی و هوازدگی کانی‌های ایلمینیت، اوژیت، هورنبلاتد و الیون منشأ Fe در این سیستم بازماندی بوده است. با توجه به ویژگی‌های فیزیکی مبنی بر حضور مواد آلی در بخش‌های بالایی (حضور کانسنسنگ‌های خاکستری رنگ در نهشته)، تشکیل کمپلکس‌های آلی Fe به همراه نفوذ محلول‌های هوازده کننده فروروی اسیدی باعث خروج آهن از بخش‌های بالایی نیمرخ شده است. به نظر می‌رسد که ایجاد شرایط احیایی محلی در تیجه اکسیداسیون مواد آلی پارامتر تشدید کننده دیگری بوده است که باعث خروج Fe از بخش‌های بالایی شده است (Mameli et al., 2007). با در نظر گرفتن نحوه توزیع در نیمرخ می‌توان ادعا نمود که محلول‌های هوازده کننده اسیدی با نزدیک شدن به سنگ‌های بستر کربناتی، و مصرف  $H^+$  و افزایش pH رسوب گذاری Fe در بخش‌های زیرین فراهم نموده‌اند. وجود روندهای متناوب افزایشی- کاهشی در نیمرخ مورد مطالعه نکته قابل توجه دیگری است که می‌تواند نشأت گرفته از نوسانات سطح سفره آب‌های زیرزمینی باشد (Ma et al., 2007). تهی شدگی P (شکل ۹-الف) از بخش‌های بالایی نیمرخ گویای شکسته شدن آپاتیت‌های سنگ مادر بازالتی در طی فرایندهای بوکسیتی شدن است. غنی‌شدگی آن در بخش‌های زیرین احتمالاً به واسطه رسوب P به صورت کانی‌های فسفاتی ثانویه صورت گرفته است. اگرچه می‌تواند به شدت به وسیله اکسیدها و هیدروکسیدهای آهن جذب سطحی و روییده شود، ولی این جذب وابسته به pH بوده، و در شرایط pH پایین (محیط اسیدی) ضعیف‌تر است (Sparks, 1995). با توجه به این مسئله، به نظر می‌رسد غنی‌شدگی عنصر Ni (شکل ۹-پ) به واسطه رسوب آن توسط کانی‌های هماتیت و گوئیت رخ داده است. حاکم بودن شرایط قلیایی، به واسطه عملکرد سنگ بستر

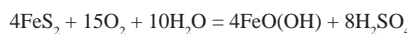
هماتیت در کانسنسنگ‌ها به احتمال قوی از اکسیداسیون پیریت (Bardossy, 1982) و کانی‌های فرومیزین، یا آب زدایی گوئیت به وجود آمده است.



### Pyrite

### Hematite

تشکیل آناتاز ممکن است به دلیل شکستن کانی‌های نظری ایلمینیت یا اوژیت تشکیل شده باشد (Hill et al., 2000). آناتاز در حضور غلظت‌های پایین از عناصر قلیایی یک فاز کانیایی پایدار در درجه حرارت‌های سطحی است (Bardossy, 1982). اما روتیل در دماهای کمتر از ۴۰۰ درجه سانتی گراد پایدار نیست. روتیل در این نهشته در اثر تغییر ساختار بلوری آناتاز در اثر عملکرد نیروهای زمین‌ساختی و فرایندهای دیاژنتیک (Bardossy & Aleva, 1990) حاصل شده است. ایلیت محصول دگرسانی مسکوویت (Temur & Kansun, 2006) می‌باشد. کلریت در این نهشته به احتمال فراوان از دگرسانی سیلیکات‌های آهن-منیزیم داری چون پیروکسن و آمفیبول ایجاد شده است. شاموزیت در این نهشته در اثر شرایط احیایی حاکم بر روی کانسنسنگ‌های آهن‌دار و تأمین سیلیس از طریق آب‌های زیرزمینی تشكیل شده است (Bardossy, 1982). به نظر می‌رسد که کوارتز در این نهشته منشأ تخریبی داشته باشد. گوئیت در کانسنسنگ‌ها حاصل دگرسانی آمفیبول (Mutakyahwa et al., 2003) است:



### Pyrite

### Goethite

## ۵-۳. شرایط فیزیکوشیمیایی تشكیل کانسنسنگ‌ها

بررسی‌های انجام شده نشان می‌دهد که برای رسوب گذاری گیسیت به عنوان کانی آلومنیا آزاد اولیه تحت شرایط سطحی، نیاز به pHهایی در محدوده بین ۶/۵ تا ۴/۵ باشد. بوده و مقدار سیلیس حل شده در آب برای رسوب آن، باید کمتر از  $10^{-4/5}$  مول باشد (Temur & Kansun, 2006). برای رسوب گذاری هماتیت و گوئیت نیاز به pH بالاتر از ۷ و Eh بزرگ‌تر از ۰/۲ است. شاموزیت در محیط‌های احیایی (اگر بازه pH بین ۷ تا ۸ باشد، Eh باید  $-0/2 < pH < +0/2$ ) در محدوده ۸ تا ۹ باشد، Eh باید بیشتر از صفر باشد) تحت شرایط فشار پایین تشكیل می‌شود (Temur & Kansun, 2006). حضور آناتاز در کانسنسنگ‌های بازماندی نشان دهنده شرایط احیایی و pH پایین در طی تشكیل این نهشته است (Özülü, 1983). مقایسه بازه میدان پایداری کانی‌های اصلی سازنده کانسنسنگ‌های بازماندی با تغییرات pH و محیط‌های طبیعی (Garrels & Christ, 1965) نشان می‌دهد که آب‌های سطحی با ماهیت اسیدی- اسکسیدی و آب‌های زیرزمینی با ماهیت بازی- احیا نقش بسیار مهمی در تکوین این نهشته‌ها داشته‌اند (شکل ۷).

## ۵-۴. طبقه‌بندی کانسنسنگ‌ها بر اساس شیمی عناصر اصلی

موقعیت کانسنسنگ‌های بوکسیتی در نمودار سه متغیره  $\text{Al}_2\text{O}_3-\text{Fe}_2\text{O}_3-\text{SiO}_2$  (Aleva, 1994) سه تیپ کانسنسنگی، ۱) لاتریت، ۲) لاتریت بوکسیتی و کائولینیت بوکسیتی را برای این نهشته مشخص می‌سازد (شکل ۸). مقایسه موقعیت کانسنسنگ‌ها در نیمرخ مورد مطالعه (شکل ۸) با موقعیت قرارگیری کانسنسنگ‌ها در نمودار یاد شده (شکل ۸) نشان می‌دهد که کانسنسنگ‌های قرمز قوه‌های ترکیبی در حد لاتریت و لاتریت بوکسیتی، کانسنسنگ‌های کرم مایل به سبز ترکیبی در حد کائولینیت بوکسیتی، کانسنسنگ‌های سبز مایل به خاکستری ترکیبی در حد کائولینیت بوکسیتی و کانسنسنگ‌های سبز تیره ترکیبی در حد لاتریت بوکسیتی و کائولینیت بوکسیتی دارند.

## ۵-۵. محاسبات فاکتور غنی‌شدگی عناصر در طی تکوین نهشته

در مطالعه نهشته‌های بوکسیتی می‌توان از تکنیک‌های مختلف زمین‌شیمی تعادل جرم و محاسبات فاکتور غنی‌شدگی مبادرت به بررسی رفتار عناصر نمود (Calagari & Abedini, 2007).

تیتانیم (روتیل و آناتاز) را نشان می‌دهد (Muggler, 1988). Th در محیط‌های سیار اسیدی تحرک بیشتری دارد (Taboada et al., 2006). با توجه به غنی‌شدگی این عنصر (شکل ۹-ت) در بخش‌های بالایی می‌توان چنین استنباط نمود که فرایندهای جذب سطحی توسعه کانی‌های رسی نقش ارزنده‌ای در تثیت این عنصر در نهشته مورد مطالعه داشته است (Hudson et al., 1999). با در نظر گرفتن شرایط قلیایی در تکوین بخش‌های زیرین نهشته به نظر می‌رسد که هیدروکسیدها و اکسیدها آهن عامل مهم دیگری در تثیت این عنصر در نهشته بوده‌اند (Murakami et al., 1997). عناصر اسیدی و احتمالاً جذب سطحی توسعه کانی‌های رسی صورت گرفته است (Barnett et al., 2000). همیستگی‌های مثبت و متوسط بین Si با (۰/۶۳) و غنی‌شدگی U (شکل ۹-ج) در بخش‌های بالایی نیمرخ به واسطه حاکم بودن شرایط اسیدی و احتمالاً جذب سطحی توسعه کانی‌های رسی صورت گرفته است (Plank & Langmuir, 1988). بررسی روند تغییرات Y در نیمرخ مورد مطالعه نشان می‌دهد که شستشو و رسوب Y در شکل گیری این سیستم بازماندی به تغییرات pH محلول‌های هوایی دارد. pH های پایین و بالا به ترتیب باعث شستشو و رسوب Y در طی فرایندهای هوایی شوند (Patino et al., 2003).

**۷-۵ ارزیابی اقتصادی - کاربردی**

استفاده از نمودار سه متغیره  $\text{SiO}_2\text{-Fe}_2\text{O}_3\text{-Al}_2\text{O}_3$  (Schellman, 1983) (شکل ۱۰) نشان می‌دهد که سنگ‌مادر در طی تبدیل به کانسنسگ‌های بوكسیتی در درزی‌ولی متحمل فرایندهای لاتریتی شدن ضعیف، متوسط و شدید شده است. نکته قابل توجه در مورد تغییر وضعیت از شدت لاتریتی شدن ضعیف به لاتریتی شدن متوسط این است که در طی تکوین کانسنسگ‌های حاوی Si پایین، تغیری خوبی بین Al و Fe صورت گرفته و نیز در کانسنسگ‌های بوكسیتی حاوی Fe پایین، تغیری خوبی بین Al و Si رخ نداده است. به عبارت بهتر، کانسنسگ‌های این نهشته در طی فرایندهای هوایی حد واسطه اند جداش خوبی از Si و Fe داشته باشند که از دلایل مهم آن می‌توان به وجود سنگ‌مادر نامناسب (سنگ‌مادر بازالتی با اکسید سیلیسیم در حدود ۵۲ درصد وزنی)، طولانی بودن زمان بوكسیتی شدن سنگ‌مادر، تشکیل فازهای کانی‌ایی حد واسطه، محیط تشکیل و سیستم زهکشی ضعیف اشاره کرد. با توجه به مطالعات زمین‌شیمیایی تبدیل و گذر کانسنسگ‌های بوكسیتی سیلیس بالا به سیلیس پایین احتمالاً در نتیجه نوسانات سطح سفره آب‌های زیرزمینی و بافتینگ آب‌های فرورو و توسط عملکرد سنگ‌های بستر کربناتی به عنوان یک سد زمین‌شیمیایی و در نتیجه رسوب گذاری آهن رخ داده است.

مقایسه ترکیب شیمیایی متوسط کانسنسگ‌های بازماندی مورد مطالعه (جدول ۶) با درجات تجاری ترکیب شیمیایی کانسنسگ‌های بوكسیتی جهت استفاده برای مصارف صنعتی ارائه شده توسط (Edwards & Atkinson, 1986) (شکل ۷) نشان می‌دهد که هیچ یک از احداثهای بازماندی شرایط لازم برای استفاده در صنایع متالورژی را ندارند. این بررسی همچنین نشان می‌دهد که با تغییراتی مانند کاهش سیلیس می‌توان از کانسنسگ‌های قرمز قوهای برای استفاده از سیمان استفاده نمود. استفاده از کانسنسگ‌های بوكسیتی این منطقه برای مصارف شیمیایی منتفی است، زیرا شرط لازم برای استفاده در مصارف شیمیایی، گیپستی بودن کانی آلومینای آزاد کانسنسگ‌ها است. با مقایسه مقادیر متوسط اکسیدهای اصلی کانسنسگ‌های درزی‌ولی (جدول ۶) با ترکیب شیمیایی ایده‌آل بوكسیت به عنوان سنگ‌مادر آجر و مواد دیرگذار (Manning, 1995) (جدول ۸) چنین استنباط می‌شوند که از کانسنسگ‌های کرم مایل به سیز و سیز مایل به خاکستری می‌توان در تولید آجر و مواد دیرگذار استفاده نمود. با توجه به میزان پایین آلومینیم به عنوان عناصر مفید و بالا بودن مقادیر عناصر سیلیسیم، آهن و تیتانیم به عنوان عناصر مضر، هیچ یک از کانسنسگ‌های بوكسیتی منطقه مورد مطالعه (جدول ۶) نسبت به ترکیبات ایده‌آل ارائه شده برای تولید سایندها (جدول ۷) مناسب نیستند. همچنین بالا بودن میزان

کربناتی به عنوان سد زمین‌شیمیایی و افزایش میزان رسوب گذاری آهن به شکل کانی‌های هماتیت و یا گوتیت، شرایطی مناسبی برای جذب ترجیحی Ni توسط این کانی‌ها در بخش زیرین نیمرخ را فراهم نموده است (Laskou & Economou-Eliopoulos, 2007). تهی شدگی Ba (شکل ۹-ت) به دلیل دگرسانی فلدسپارهای سنگ‌های مادر و آزاد شدن آن به محلول‌های هوایی کننده و غنی‌شدگی آن (شکل ۸-ت) به واسطه جذب سطحی توسعه ژلهای کائولینیتی صورت گرفته است (Plank & Langmuir, 1988). بررسی روند تغییرات Y در نیمرخ مورد مطالعه نشان می‌دهد که شستشو و رسوب Y در شکل گیری این سیستم بازماندی به تغییرات pH محلول‌های هوایی دارد. pH های پایین و بالا به ترتیب باعث شستشو و رسوب Y در طی فرایندهای هوایی شوند (Muzaffer-Karadag et al., 2009).

**۷-۶ عناصر تهی شده:** تهی شدگی Si (شکل ۹-ب) در نیمرخ مورد مطالعه در نتیجه کائولینیتی شدن و یا سکوویتی شدن فلدسپارها و به صورت متواالی در نتیجه تبدیل بخشی کائولینیت به کانی‌های آلومینای آزاد و خروج اسید سیلیسیک (Muzaffer-Karadag et al., 2009) رخ داده است. تهی شدگی عناصر Na، Ca و K (شکل ۹-ب)، در طی تشکیل نهشته در نتیجه ورود این عناصر به محلول‌های هوایی کننده در نتیجه تخریب فلدسپارها در سیستم‌های واکنشی آب-سنگ صورت گرفته است. تهی شدگی Mg و Mn (شکل ۹-ب) احتمالاً در نتیجه شکسته شدن کانی‌های فرومینزین مانند الیوین و اوژیت، و آزاد شدن بخشی عناصر یاد شده به محلول‌های هوایی کننده رخ داده است. محلول‌هایی که باعث آزاد شدن عناصر قلیایی از کانی‌های سنگ‌مادر شده‌اند، احتمالاً غنی از اسیدهای کربنیک و هومیک بوده‌اند (Muzaffer-Karadag et al., 2009). در کل به نظر می‌رسد وجود الگوهای نامنظم در نحوه کاهش جرم عناصر Si، K و Mg در نیمرخ مورد مطالعه احتمالاً ناشی از اختلاف در میزان شدت دگرسانی سنگ‌مادر می‌باشد. تهی شدگی Co (شکل ۹-پ) به دلیل تخریب کانی‌های فرومینزین سنگ‌مادر رخ داده است (Ndjigui et al., 2008). تهی شدگی Rb (شکل ۹-ت) در سیستم بازماندی مورد مطالعه به دلیل شکسته شدن فلدسپارهای سنگ‌مادر صورت گرفته است (Plank & Langmuir, 1988). خروج Hf از سیستم احتمالاً به دلیل کمپلکس شدن این عنصر توسط لیگندهای آلی رخ داده است (Ma et al., 2007).

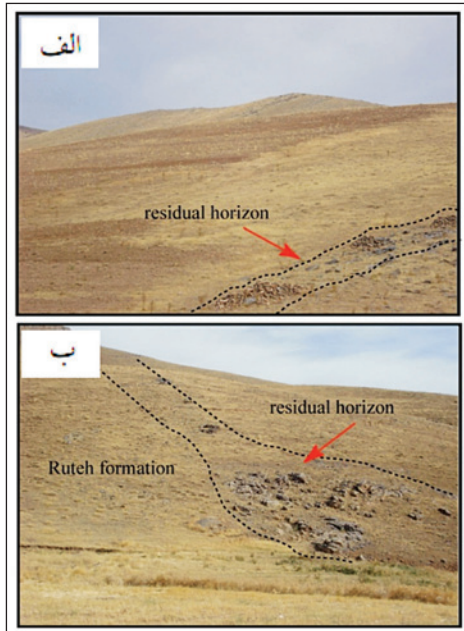
**۷-۷ عناصر غنی شده:** غنی‌شدگی Al (شکل ۹-الف) احتمالاً به دلیل غنی‌شدگی بازماندی این عنصر در نتیجه کاهش حجم سیستم در طی فرایندهای بوکسیتی شدن صورت گرفته است. این عنصر در پروفیل‌های هوایی نامحلول بوده و به سختی توسط محلول‌های هوایی کننده منتقل می‌شود (Nesbitt & Wilson, 1992). غنی‌شدگی Ti (شکل ۹-الف) احتمالاً به واسطه شکسته شدن کانی‌های ایلمنیت و پیروکسن، و تثیت آن به فرم کانی‌های روتیل و آناتاز رخ داده است. پیروکسن نوع اوژیتی به طور مشخص حاوی  $0/5$  تا  $0/8$  درصد وزنی  $\text{TiO}_2$  است (Deer et al., 1992). توزیع عناصر V و Cr در تشکیلات لاتریتی می‌تواند در ارتباط با اکسیدهای و هیدروکسیدهای آهن باشد (Marques et al., 2004).  $\text{V}^{3+}$  و  $\text{Cr}^{3+}$  به راحتی می‌توانند جایگزین  $\text{Fe}^{3+}$  در شبکه کانی‌های هماتیت و گوتیت شوند (Schwertmann & Pfaff, 1996). همیستگی منفی بین V با ( $-0/09$ ) و Cr با ( $-0/73$ ) نشان می‌دهند که کانی‌های آهن دار نقشی در تمرکز عناصر یاد شده در نهشته مورد مطالعه نداشته‌اند. همیستگی مثبت و قوی بین Cr با ( $+0/72$ ) و Al ( $+0/73$ ) دلالت بر تثیت و غنی‌شدگی Cr (شکل ۹-ج) (Shukla et al., 1987). مقایسه چگونگی تغییرات جرم V ( $+0/09$ ) با Cr ( $-0/73$ ) توسط کانی‌های رسی به واسطه فرایندهای جذب سطحی در این نهشته دارد (Newman, 1987). شکل ۹-الف) نشان می‌دهند روشهای غنی‌شدگی تقریباً مشابهی بین این دو عنصر در نیمرخ مورد مطالعه وجود دارد. این شبکه اکسیدهای V در شبکه اکسیدهای

و تکامل کانسنگ‌های این نهشته ایفا نموده‌اند.

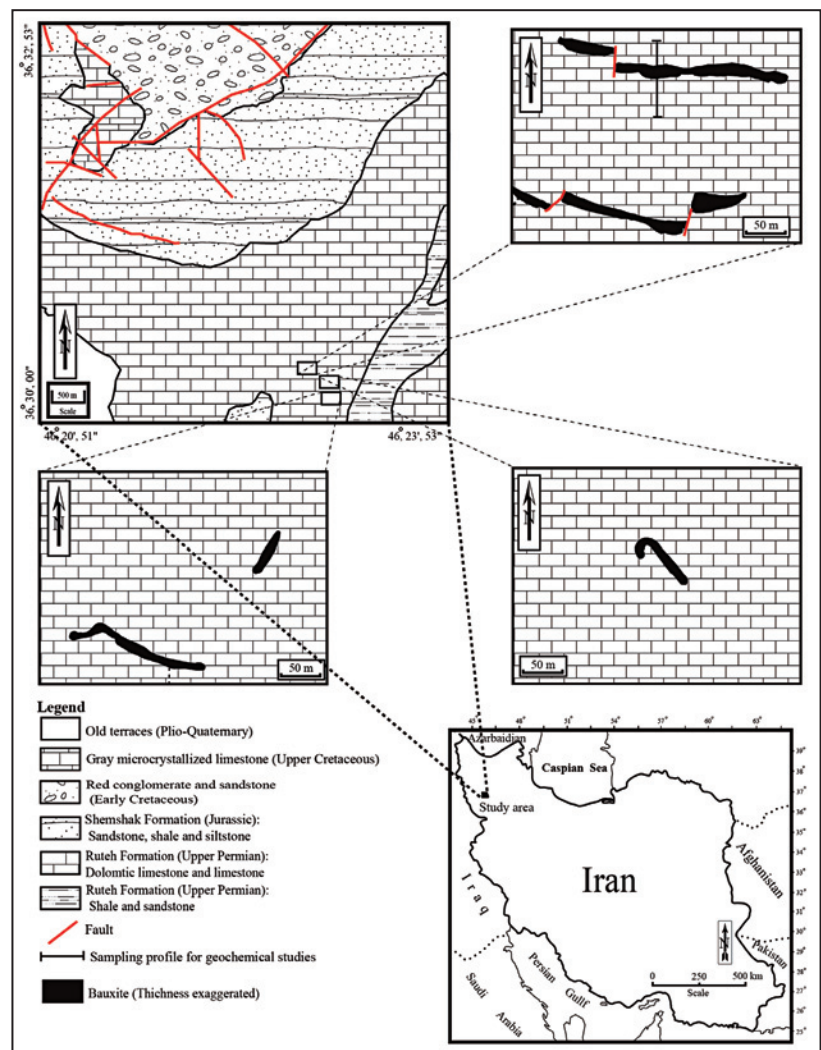
- با توجه به یافته‌های زمین‌شیمیایی عناصر اصلی، این نهشته شامل سه نوع کانسنگی، (۱) لاتریت، (۲) لاتریت بوکسیتی، و (۳) کاٹولینیت بوکسیتی است.
- نتایج به دست آمده از محاسبات فاکتور غنی شدگی و ضرایب همبستگی بین عناصر آشکار می‌سازند که تحرک، توزیع و غنی شدگی عناصر اصلی، فرعی، و جزئی در نهشته بوکسیت درزی ولی تابعی از عواملی چون، (۱) جذب سطحی، (۲) روبش، (۳) تمرکزهای بازماندی، (۴) عملکرد سنگ بستر کربناتی به عنوان یک سد زمین‌شیمیایی، (۵) کترول کانیایی (ثبت در فازهای کانیایی تازه تشکیل شده و حضور در فازهای کانیایی مقاوم)، (۶) تفاوت در میزان شدت دگرسانی، (۷) میزان دسترسی به لیگندهای آلمی، و (۸) نوسانات سطح سفره آب‌های زیرزمینی می‌باشد.
- بررسی ترکیب کانی‌شناسی و داده‌های زمین‌شیمیایی نشان می‌دهند که کانسنگ‌های فقیر از آهن این نهشته ویژگی‌های مناسبی برای استفاده در صنایع دیرگذار و کانسنگ‌های غنی از آهن قابلیت کاربرد در صنایع سیمان را دارا هستند.

### سپاسگزاری

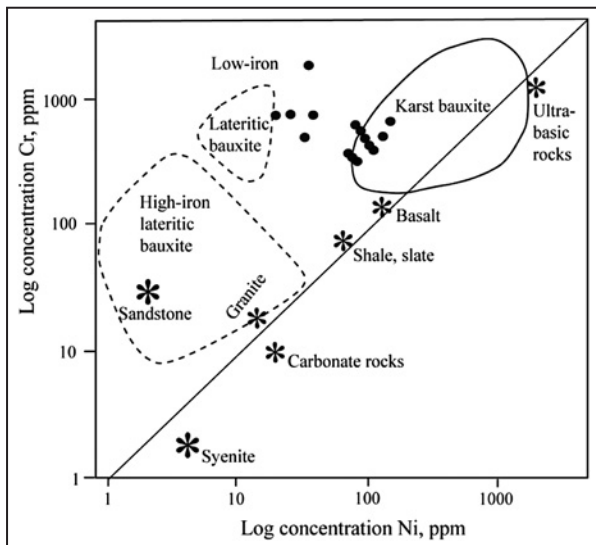
نگارندگان از حمایت‌های مالی معاونت پژوهشی و تحصیلات تکمیلی دانشگاه ارومیه برخوردار بوده‌اند، از این رو شایسته است نهایت سپاس و قدردانی خود را ابراز دارند. نگارندگان همچنین از نظرات و پیشنهادات ارزشمند و سازنده داوران محترم مجله سپاسگزاری می‌نمایند.



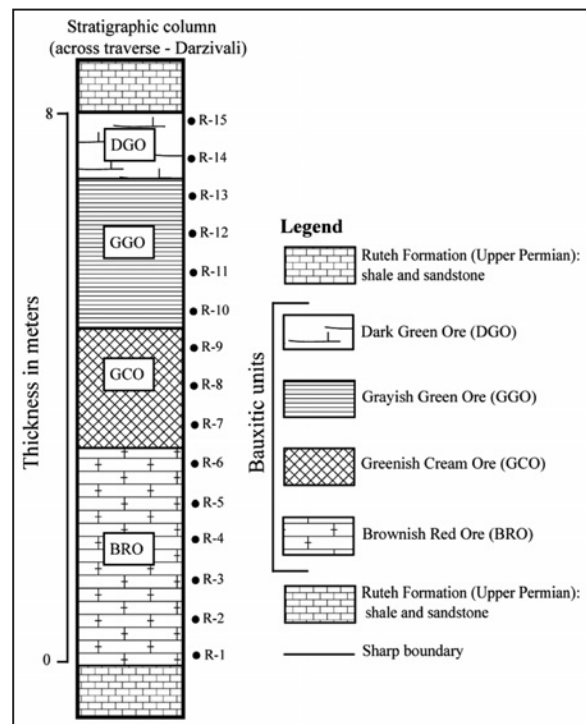
شکل ۲- (الف) دورنمایی از افق بازماندی بوکسیتی در منطقه درزی ولی. دید به سمت شمال خاور. ب) تصویری از عدسی بوکسیتی بازماندی در منطقه. دید به سمت خاور.



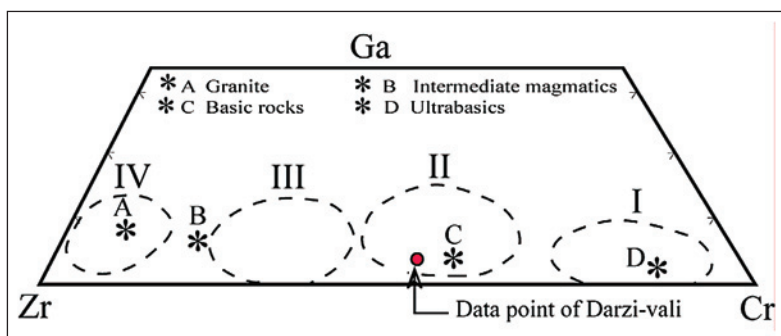
شکل ۱- نقشه زمین‌شناسی محدوده مورد مطالعه و موقعیت منطقه درزی ولی در نقشه جغرافیایی ایران.



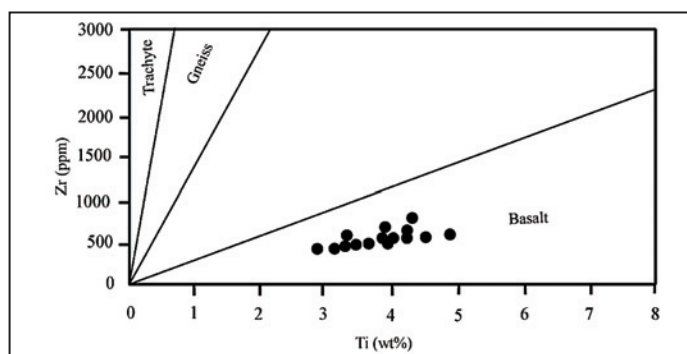
شکل ۴- موقعیت کانسنگ‌های بوکسیتی درزی‌ولی در نمودار دو متغیره Cr-Ni (Schroll & Sauer, 1968) (دوایر توپر موقعیت کانسنگ‌های بوکسیتی درزی‌ولی را بر روی نمودار مذکور نشان می‌دهند.



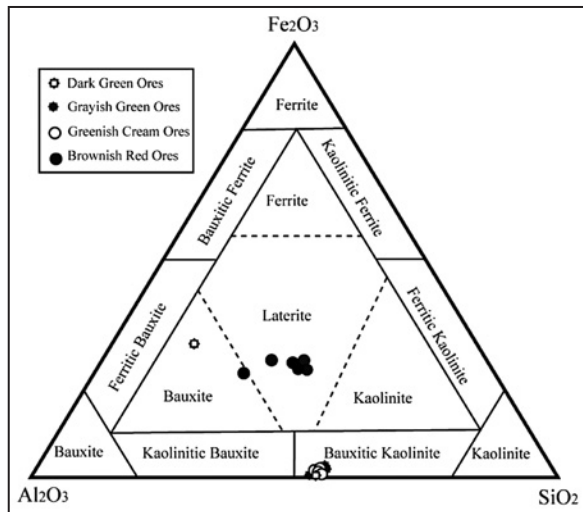
شکل ۳- ستون چینه‌شناسی نیمرخ مورد مطالعه در نهشته بوکسیتی درزی‌ولی که در آن محل نمونه‌های برداشت شده برای انجام تجزیه‌های زمین‌شیمیایی با دوایر توپر نشان داده شده‌اند.



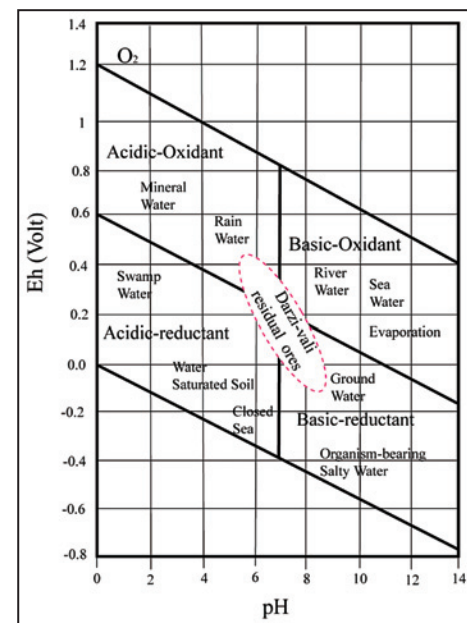
شکل ۵- موقعیت نهشته بوکسیت درزی‌ولی در نمودار سه متغیره Zr-Cr-Ga (Özlu, 1983) (Zr-Cr-Ga). ترتیب بیانگر مناطق اثر سنگ‌های مادر اولترامافیک، مافیک، حد واسط یا رسی و اسیدی هستند. حروف A، B، C و D به ترتیب نشان دهنده محل قرارگیری سنگ‌های مادر گرانیتی، سنگ‌های حد واسط، سنگ‌های آذرین بازیک و الترازاکیک برای نهشته‌های لاتریتی می‌باشند (Özlu, 1983).



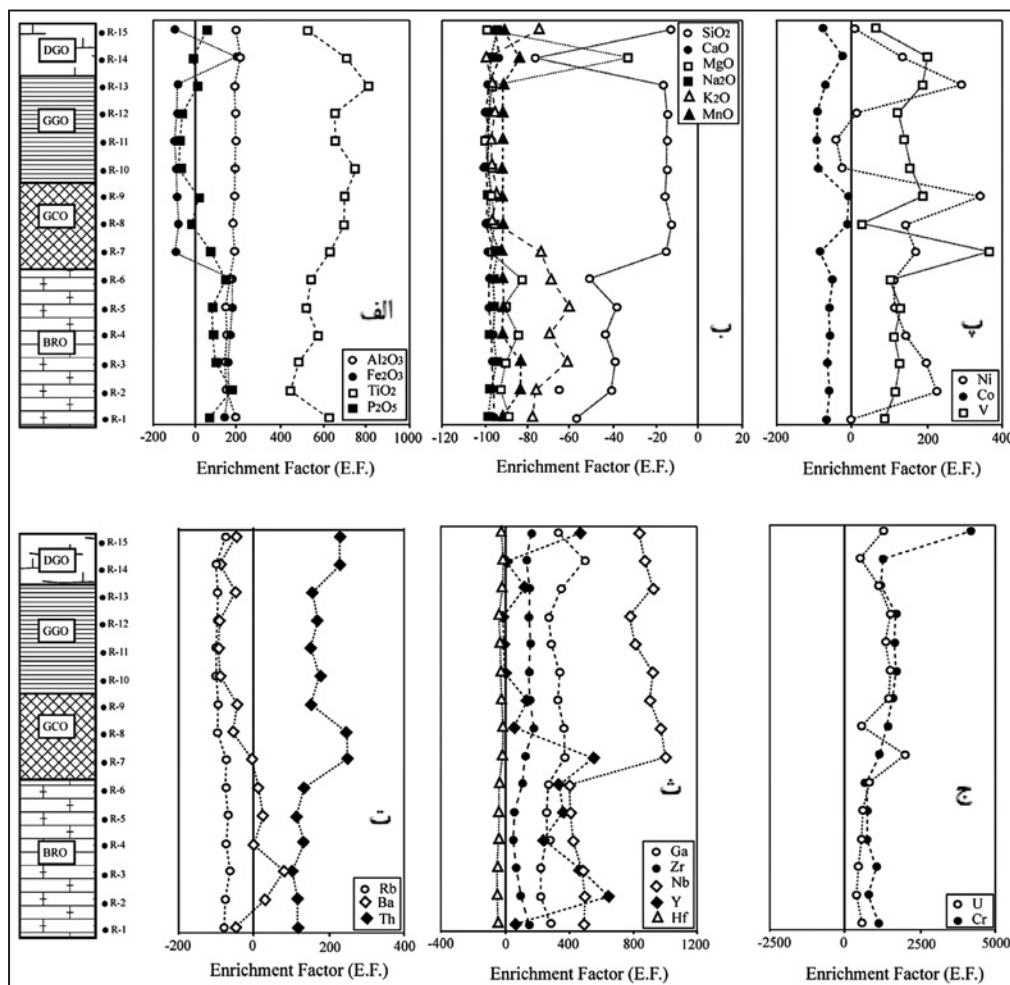
شکل ۶- موقعیت کانسنگ‌های بوکسیتی مورد مطالعه در نمودار دو متغیره Ti-Zr (Hallberg, 1984).



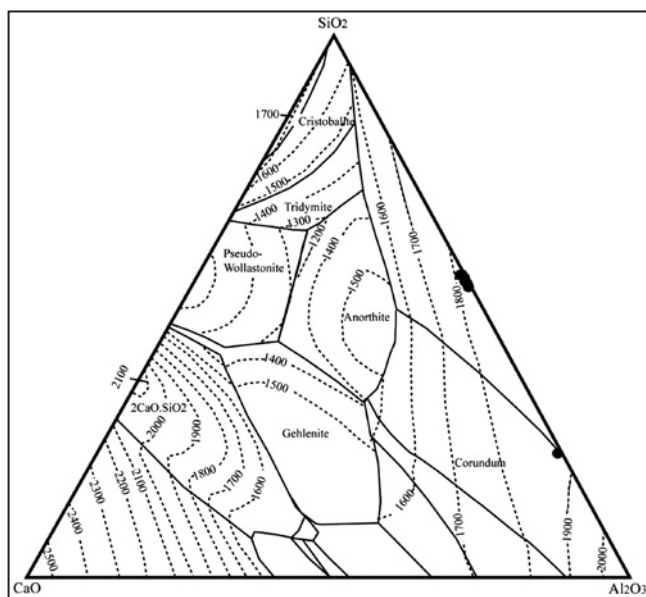
شکل ۸- موقعیت کانسنگ‌های بوکسیتی مورد مطالعه در نمودار سه متغیره (Aleva, 1994)  $\text{Al}_2\text{O}_3\text{-}\text{Fe}_2\text{O}_3\text{-SiO}_2$



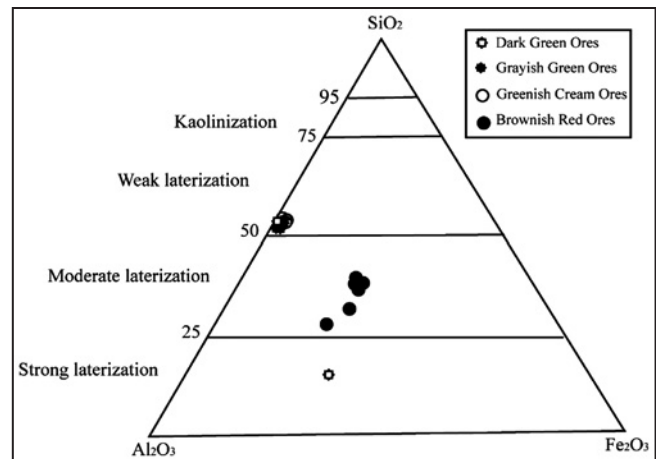
شکل ۷- نمودار Eh-pH محیط‌های اتمسفریک طبیعی با توجه به حیطه‌ی پایداری کانی‌ها (Garrels & Christ, 1965) که در آن موقعیت نهشته‌های بازماندی مورد مطالعه مشخص شده است. مقادیر pH و Eh تشکیل کانی‌های گیسیت، هماتیت، گوئیت و شاموزیت از (Temur & Kansun (2006) برگرفته شده است.



شکل ۹- الگوی تغییرات فاکتورهای غنی‌شدگی برای عنصر اصلی، فرعی، و جزئی در نیميخ مورد مطالعه.



شکل ۱۱- موقعیت کانسنسگ‌های بوكسیتی غنی از سیلیس و آلومینیم (به استثنای کانسنسگ‌های قرمز قهوه‌ای) در نمودار سه متغیره  $\text{Al}_2\text{O}_3\text{-SiO}_2\text{-CaO}$  (Dourdounis et al., 2004).



شکل ۱۰- الگوی پراکندگی کانسنسگ‌های بوكسیتی درزی‌ولی در نمودار سه متغیره  $\text{SiO}_2\text{-Al}_2\text{O}_3\text{-Fe}_2\text{O}_3$  برای تعیین فرایندهای هوازدگی (Schellmann, 1983).

جدول ۱- نتایج تجزیه‌های شیمیایی ICP-AES عناصر اصلی و فرعی در کانسنسگ‌های بوكسیتی و سنگ مادر بازالتی، مقادیر اکسیدها و L.O.I. بر حسب درصد وزنی هستند. علامت اختصاری به کار رفته عبارتند از: BRO = کانسنسگ قرمز قهوه‌ای، GCO = کانسنسگ کرم مایل به سبز، GGO = کانسنسگ سبز مایل به خاکستری، و DGO = کانسنسگ سبز تیره.

	R-1	R-2	R-3	R-4	R-5	R-6	R-7
Rock type	Basalt	BRO	BRO	BRO	BRO	BRO	GCO
$\text{SiO}_2$	52/9	45/8	12/6	44/1	45/4	45/3	44/4
$\text{Al}_2\text{O}_3$	20/4	28/7	23/0	37/6	38/7	38/9	37/1
$\text{Fe}_2\text{O}_3$	8/01	0/28	24/3	1/04	0/89	0/59	1/25
$\text{CaO}$	6/03	0/21	0/35	0/13	0/09	0/08	0/11
$\text{MgO}$	2/49	0/06	1/70	0/11	0/06	0/04	0/08
$\text{Na}_2\text{O}$	3/97	0/18	0/10	0/10	0/09	0/09	0/10
$\text{K}_2\text{O}$	3/66	0/94	<0/01	0/14	0/18	0/10	0/21
$\text{TiO}_2$	0/88	5/01	7/14	8/07	6/09	6/68	7/51
$\text{MnO}$	0/12	<0/01	0/02	<0/01	<0/01	<0/01	<0/01
$\text{P}_2\text{O}_5$	0/36	0/55	0/32	0/40	0/15	0/10	0/43
L.O.I	1/19	8/00	9/58	7/39	7/72	7/78	7/65
Sum	100/01	100/23	99/11	99/18	99/47	99/66	100/2
	R-8	R-9	R-10	R-11	R-12	R-13	R-15
Rock type	GCO	GCO	GGO	GGO	GGO	GGO	DGO
$\text{SiO}_2$	49/2	44/8	26/0	32/8	29/9	32/3	31/5
$\text{Al}_2\text{O}_3$	36/6	38/0	32/7	29/4	30/0	29/0	38/4
$\text{Fe}_2\text{O}_3$	1/78	0/37	21/2	22/2	21/2	19/55	20/2
$\text{CaO}$	0/09	0/15	0/23	0/13	0/18	0/23	0/18
$\text{MgO}$	0/13	0/06	0/47	0/22	0/41	0/25	0/30
$\text{Na}_2\text{O}$	0/06	0/13	0/12	0/16	0/15	0/16	0/08
$\text{K}_2\text{O}$	0/12	0/97	1/14	1/46	1/12	1/44	0/83
$\text{TiO}_2$	7/03	9/00	5/99	5/50	6/03	5/22	4/76
$\text{MnO}$	<0/01	<0/01	0/01	0/01	0/01	0/02	0/01
$\text{P}_2\text{O}_5$	0/31	0/62	0/87	0/83	0/65	0/72	0/97
L.O.I	7/13	8/09	8/93	9/99	7/89	8/57	8/11
Sum	100/15	100/29	97/36	99/5	97/51	97/46	97/41

جدول ۲- نتایج تجزیه‌های شیمیایی ICP-MS عناصر جزئی در کانسنگ‌های بوکسیتی و سنگ مادر بازنی. مقادیر عناصر جزئی بر حسب ppm هستند. علائم اختصاری به کار رفته عبارتند از: BRO = کانسنگ کرم مایل به سبز، GGO = کانسنگ سبز مایل به خاکستری، و DGO = کانسنگ سبز تیره.

	T-1	R-1	R-2	R-3	R-4	R-5	R-6	R-7
Rock type	Basalt	BRO	BRO	BRO	BRO	BRO	BRO	GCO
V ppm	۱۹۱	۳۲۴	۵۸۱	۵۵۹	۴۲۱	۴۶۵	۴۹۵	۵۹۱
Cr	۴۰	۱۷۲۰	۵۵۰	۴۹۰	۷۲۰	۷۰۰	۷۲۰	۶۶۰
Co	۱۷/۳	۳/۲	۱۳/۲	۴/۶	۱/۵	۱/۱	۱/۵	۱۵/۹
Ni	۳۴	۳۵	۸۰	۱۳۳	۳۸	۲۰	۲۵	۱۵۰
Rb	۱۰۲	۲۷/۶	۰/۶	۴/۴	۵/۱	۳/۰	۳/۱	۵/۹
Ba	۸۹۱	۵۴۰	۴۲/۰	۴۶۸	۱۱۲/۵	۶۸/۲	۶۲/۰	۵۳۵
Ga	۲۰/۱	۵۳/۳	۴۵/۶	۴۸/۶	۵۰/۲	۵۲/۱	۵۰/۶	۴۶/۷
Th	۷/۲۹	۲۲/۹	۲۲/۹	۱۸/۴۵	۱۹/۵۵	۱۸/۳۵	۲۰/۲	۱۸/۴۵
U	۲/۰۴	۳۵/۴	۱۴/۹۰	۳۲/۰	۴۱/۴	۳۷/۳	۴۱/۳	۴۰/۹
Y	۲۴/۲	۱۳۹/۰	۱۸/۹	۵۶/۵	۲۰/۰	۱۸/۱	۱۸/۰	۶۲/۹
Zr	۱۳۵	۵۷۴	۸۰۷	۵۹۵	۴۹۵	۵۲۰	۵۸۷	۵۷۴
Nb	۱۵/۶	۱۴۷/۵	۱۵۲/۵	۱۶۱/۰	۱۳۶/۵	۱۴۳/۰	۱۶۱/۰	۱۵۷/۰
Hf	۲۰/۱	۱۴/۷	۱۹/۸	۱۵/۷	۱۲/۴	۱۳/۴	۱۵/۱	۱۵/۲
	R-8	R-9	R-10	R-11	R-12	R-13	R-14	R-15
Rock type	GCO	GCO	GGO	GGO	GGO	GGO	DGO	DGO
V ppm	۲۵۲	۹.۶	۳۸۹	۴۴۱	۴۰۶	۴۴۱	۴۲۰	۳۷۴
Cr	۶۰۰	۵۱۰	۳۵۰	۳۴۰	۳۱۰	۴۶۰	۳۸۰	۴۸۰
Co	۱۵/۳	۲/۵	۸/۳	۶/۸	۷/۰	۶/۱	۷/۰	۵/۷
Ni	۸۳	۹۲	۷۱	۷۶	۸۳	۱۰۱	۱۱۱	۱۳۳
Rb	۳/۴	۲۲/۵	۲۶/۵	۳۴/۳	۲۶/۷	۳۷/۹	۲۵/۲	۲۲/۴
Ba	۳۸۵	۸۸۱	۱۰۰۵	۱۱۵۰	۸۸۸	۱۶۹۵	۱۱۹۰	۴۱۷
Ga	۵۶/۵	۴۷/۰	۴۰/۸	۳۰/۸	۳۱/۷	۳۳/۵	۳۹/۴	۵۲/۱
Th	۲۵/۴	۲۵/۵	۱۶/۹۰	۱۵/۶۵	۱۶/۹۵	۱۴/۷۰	۱۵/۷۵	۱۶/۰۵
U	۱۷/۰۵	۵۴/۵	۲۲/۳	۱۸/۸۰	۱۹/۷۰	۱۴/۳۰	۱۲/۵۵	۱۶/۶۰
Y	۳۵/۸	۱۶۰/۵	۱۰۳/۰	۱۱۴/۰	۷۹/۵	۱۳۸/۰	۱۸۲/۵	۳۹/۸
Zr	۶۲۷	۶۴۹	۴۹۶	۴۸۲	۴۹۹	۴۳۴	۴۳۶	۵۱۳
Nb	۱۶۸/۰	۱۷۳/۰	۸۰/۶	۷۹/۲	۸۲/۴	۸۸/۵	۹۴/۲	۹۴/۹
Hf	۱۶/۳	۱۷/۴	۱۲/۳	۱۱/۷	۱۳/۰	۱۰/۷	۱۰/۸	۱۱/۳

جدول ۳- ضرایب همبستگی اسپرمن بین برخی از عناصر انتخابی در کانسنگ‌های مورد مطالعه.

	Si	Al	Fe	Ti	V	Zr	Nb	Cr	Ga	U
<b>Si</b>	۱/۰۰									
<b>Al</b>	-۰/۲۳	۱/۰۰								
<b>Fe</b>	-۰/۷۷	-۰/۴۸	۱/۰۰							
<b>Ti</b>	-۰/۲۴	-۰/۵۶	-۰/۲۷	۱/۰۰						
<b>V</b>	-۰/۱۰	-۰/۲۰	-۰/۰۹	-۰/۴۸	۱/۰۰					
<b>Zr</b>	-۰/۲۳	-۰/۵۸	-۰/۳۱	-۰/۷۷	-۰/۳۸	۱/۰۰				
<b>Nb</b>	-۰/۵۳	-۰/۴۷	-۰/۶۰	-۰/۷۳	-۰/۳۹	-۰/۸۵	۱/۰۰			
<b>Cr</b>	-۰/۷۲	-۰/۷۳	-۰/۷۳	-۰/۵۱	-۰/۱۲	-۰/۳۸	-۰/۶۴	۱/۰۰		
<b>Ga</b>	-۰/۶۳	-۰/۶۶	-۰/۷۰	-۰/۴۶	-۰/۲۶	-۰/۵۲	-۰/۶۳	-۰/۷۷	۱/۰۰	
<b>U</b>	-۰/۵۹	-۰/۴۳	-۰/۷۲	-۰/۴۴	-۰/۳۶	-۰/۲۳	-۰/۵۳	-۰/۵۷	-۰/۵۲	۱/۰۰

جدول ۴- ترکیب کانی‌شناسی کانسنگ‌های مورد مطالعه.

تعداد نمونه	نوع کانسنگ	فازهای کانیابی
۱	سیز تیره	کلریت، کانولینیت، دیاسپور، آناتاز، کلسیت و روئیت
۱۰	سیز مایل به خاکستری	پیروفلیت، دیاسپور، روئیت، آناتاز، مسکوویت، کانولینیت، بوهمیت، کوارتز، کلریت و دولومیت
۳	کرم مایل به سیز	پیروفلیت، کانولینیت، ایلیت، دیاسپور، کلسیت، آناتاز، روئیت، بوهمیت، مسکوویت، کلریت، دولومیت و کوارتز
۵	قرمز قهوه‌ای	دیاسپور، هماتیت، شاموزیت، کانولینیت، ایلیت، روئیت، آناتاز، کلریت و گوتیت

جدول ۵- محدوده تغییرات عناصر بی تحرک در کانسنگ‌های مورد مطالعه. مقادیر اکسیدها بر حسب درصد وزنی و مقادیر عناصر جزئی بر حسب ppm است.

منطقه	عنصر	کمینه	بیشینه	دامنه تغییرات
Darzi-vali	$\text{Al}_2\text{O}_3$	۲۹/۰	۴۳/۰	۱۴
	$\text{TiO}_2$	۴/۷۶	۸/۰۷	۳/۳۱
	Hf	۱۰/۷	۱۹/۸	۹/۱
	Nb	۷۹/۲	۱۷۳/۰	۹۳/۸
	Th	۱۴/۷۰	۲۵/۵	۱۰/۸
	Zr	۴۳۴	۸۰۷	۳۷۳

جدول ۶- میانگین ترکیب شیمیابی اکسیدهای اصلی کانسنگ‌های بوکسیتی منطقه مورد مطالعه.

	$\text{Al}_2\text{O}_3$	$\text{SiO}_2$	$\text{Fe}_2\text{O}_3$	$\text{TiO}_2$	نوع کانسنگ
	۴۰/۸۵	۲۹/۲۰	۱۲/۲۹	۶/۳۳	سیز تیره
	۳۸/۳۵	۴۵/۰۳	۰/۹۶	۷/۲۱	سیز مایل به خاکستری
	۳۷/۲۳	۴۵/۱۳	۱/۱۳	۶/۸۶	کرم مایل به سیز
	۳۱/۵۷	۲۹/۲۲	۲۰/۵۶	۵/۶۱	قرمز قهوه‌ای

جدول ۷- درجات تجاری ترکیب شیمیابی بوکسیت‌ها برای مصارف مختلف صنعتی (Edwards &amp; Atkinson, 1986). تجزیه‌های تیپیک برای کانسنگ‌های بوکسیتی برگرفته شده است. Harbon &amp; Dickson (1983)

	متالورژی	شیمیابی	سیمان	نسوز (کلسینه شده)	ساینده‌ها	پروپانت‌ها
نیازمندی	آلومینا بالا، آهن پایین، سیلیس پایین، تیتانیم پایین	کانسنگ بايد گیسیتی باشد، آهن خیلی پایین، سیلیس پایین ولی خیلی بحرانی نیست	آلومینا متوسط تا بالا، سیلیس آهن خیلی پایین، آهن بالا، کانسنگ ترجیحاً دیاسپوری باشد	آلومینا بالا، آهن تا حدی پایین، قلیابی‌ها خیلی پایین	آلومینا بالا، آهن تا حدی پایین، سیلیس پایین، تیتانیوم پایین	آلومینا بالا، سیلیس پایین، رس‌ها پایین، مقدار آهن بحرانی نیست
آنالیزهای تیپیک	$\text{Al}_2\text{O}_3$	%۵۵-۵۰	>%۵۵	%۵۵-۴۵	>%۸۵/۵	%۸۸-۸۰
	$\text{SiO}_2$	%۱۵-۰	%۱۸-۵	<%۶	<%۷/۵	%۸-۴
	$\text{Fe}_2\text{O}_3$	%۳۰-۵	<%۲	%۳۰-۲۰	<%۲/۵	%۵-۲
	$\text{TiO}_2$	%۶-۰	%۶-۰	%۳	<%۴	%۵-۲

جدول ۸- ترکیب شیمیابی ایده‌آل بوکسیت به عنوان سنگ اولیه آجر و مواد دیرگذار (Manning, 1995).

$\text{Al}_2\text{O}_3$	$\text{SiO}_2$	$\text{TiO}_2$	$\text{Fe}_2\text{O}_3$
۳۵/۷۰	۳۹/۳۰	۴/۸۹	۴/۱۹

جدول ۹- مواد اولیه، ترکیب شیمیایی و کاربرد دیرگذازها (Halvac, 1983).

مواد اولیه	اکسیدهای تشکیل دهنده عمده به ترتیب فراوانی	دما (بر حسب درجه سانتی گراد)	کاربرد
بوکسیت	$\text{Al}_2\text{O}_3$ $\text{SiO}_2$	۱۸۵۰-۱۷۷۰	کوره‌های الکتریکی، ذوب فولاد، کوره‌های دوار آهک و سیمان، کوره‌های پتروشیمی و آستریندی کوره‌های بلند
کائولینیت	$\text{SiO}_2$ $\text{Al}_2\text{O}_3$	۱۷۵۰-۱۶۰۰	کوره‌های ذوب آهن، کوره‌های حرارتی سرامیکی، دیگ‌های بخار و کوره‌های الکتریکی

## کتابنگاری

- افتخارنژاد، ج.، ۱۳۵۵- نقشه زمین‌شناسی مهاباد به ۱:۲۵۰۰۰۰. انتشارات سازمان زمین‌شناسی و اکتشافات معدنی کشور.
- آقاباتی، ع.، ۱۳۸۵- نقشه زمین‌شناسی ۱:۱۰۰۰۰۰ چهارگوشه مهاباد. سازمان زمین‌شناسی و اکتشافات معدنی کشور.
- حسامی، ع.، ۱۳۷۰- بررسی های اکتشافی بوکسیت‌های شرق بوکان. رساله کارشناسی ارشد گروه مهندسی معدن دانشگاه تهران، ۲۸۵ ص.
- عبدالدینی، ع.، ۱۳۸۷- بررسی کانی‌شناسی، ژئوشیمی و ژئونهشته‌های بوکسیتی-لاتریتی شمال غرب ایران. رساله دکتری زمین‌شناسی اقتصادی دانشگاه تبریز، ۱۸۷ ص.
- عبدالدینی، ع.، کلاگری، ع.، ۱۳۸۸ الف- کانی‌شناسی و خاستگاه نهشته‌های بوکسیتی پرمین در شمال سقز، استان کردستان. مجله بلورشناسی و کانی‌شناسی ایران، شماره ۴، ۵۱۸-۵۰۳ ص.
- عبدالدینی، ع.، کلاگری، ع.، ۱۳۸۸ ب- بررسی فاکتورهای کنترل کننده توزیع عناصر جزئی (شامل عناصر نادر خاکی) در طی فرایندهای بوکسیتی شدن در کانی‌شیته، شرق بوکان، شمال غرب ایران. مجله علوم زمین، شماره ۷۲، ص ۱۴۵-۱۵۴.
- عبدالدینی، ع.، کلاگری، ع.، ۱۳۸۹- ژئوشیمی کانسنگ‌های بوکسیتی-لاتریتی جوانمرد، شمال خاوری بوکان، استان آذربایجان غربی. مجله زمین‌شناسی ایران، شماره ۱۵، ص ۲۹-۳۸.
- عبدالدینی، ع.، کلاگری، ع.، ۱۳۹۰- مطالعات ژئوشیمیایی نهشته‌های بوکسیتی-کائولینیتی پرمین در شمال سقز، استان کردستان. مجله علوم زمین، شماره ۷۹، ص ۶۷-۷۴.
- عبدالدینی، ع.، کلاگری، ع.، ۱۳۸۷- ویژگی‌های زمین‌شناسی-کانی‌شناسی و ژئوشیمی عناصر کمیاب در نهشته بوکسیت آغازی. جنوب شاهین دز، شمال غرب ایران. مجله بلورشناسی و کانی‌شناسی ایران، شماره ۲۴، ص ۳۴۱-۳۵۶.
- عبدالدینی، ع.، هرادی، ش.، علیزاده، ا.، ۱۳۹۱- فاکتورهای کنترل کننده توزیع عناصر اصلی، فرعی، جزئی و نادر خاکی در نهشته لاتریت داش آغل، شرق بوکان، استان آذربایجان غربی، شمال غرب ایران. یافته‌های نوین زمین‌شناسی کاربردی، شماره ۱۲، ص ۳۸-۵۹.

## References

- Abedini, A. & Calagari, A., 2013a- Rare earth elements geochemistry of Sheikh-Marut laterite deposit, NW Mahabd, West- Azarbaidjan province, Iran. *Acta Geologica Sinica-English Edition* 87 (1), 176-185.
- Abedini, A. & Calagari, A., 2013b- Geochemical characteristics of Kanigorreh ferruginous bauxite horizon, West- Azarbaidjan province, NW Iran. *Peridico di Mineralogia* 82, 1-23.
- Abedini, A. & Calagari, A., 2013c- Geochemical characteristics of bauxites: the Permian Shahindezh horizon, NW Iran. *Neues Jahrbuch für Geologie und Paläontologie, Abhandlungen* 270 (3), 301-324.
- Abedini, A., Calagari, A. & Mikaeili, K., 2014- Geochemical characteristics of laterites: the Alibaltalu deposit, Iran. *Bulletin of the Mineral Research and Exploration* 148, 69-84.
- Aleva, G. J. J., 1994- Laterites: Concepts, geology, morphology and chemistry. ISIRC, Wageningen, 169p.
- Balkay, B. & Bardossy, G. Y., 1967- Lateritesedesesi rezfolyamant vizsgalatok guineai lateritekben (Study of partial processes of laterization on Guinean laterites), Foldt. Kozl. Budapest, Vol. 97, 91-100.
- Balkay, B. & Samimi, M., 1972- Geological investigations of Iranian bauxites and other high-alumina materials. Geological survey of Iran, Internal paper.
- Bardossy, G., 1982- Karst bauxites. Elsevier Scientific, Amsterdam, 441p.
- Bardossy, G. Y. & Aleva, G. Y. Y., 1990- Lateritic bauxites. Akademia, Kiado Budapest, 646 p.
- Barnett, M., Jardine, P. M., Brooks, S. C. & Selim, H. M., 2000- Adsorption and transport of U (VI) in subsurface media. *Soil Science Society of American Journal* 64, 908-914.
- Boulange, B., Bouzat, G. & Pouliquen, M., 1996- Mineralogical and geochemical characteristics of two bauxitic profiles, Fria, Guinea republic. *Mineralium Deposita* 31, 432-438.
- Calagari, A. A. & Abedini, A., 2007- Geochemical investigations on Permo-Triassic bauxite horizon at Kanisheeteh, east of Bukan, West- Azarbaidjan, Iran. *Journal of Geochemical Exploration* 94, 1-18.
- Calagari, A. A., Kangani, F. & Abedini, A., 2010 - Geochemistry of minor, trace and rare earth elements in Biglar Permo-Triassic bauxite deposit, Northwest of Abgarm, Ghazvin Province, Iran. *Journal of Sciences, Islamic Republic of Iran* 21, 225-236.

- Deer, W. A., Howie, R. A. & Zussmann, J., 1992- The rock forming minerals. Longman, London, 720p.
- Dourdounis, E., Stivanakis, V., Angelopoulos, G. N., Chaniotakis, E., Frogoudakis, E., Papanastasiou, D. & Papamantellos, D. C., 2004- High-alumina cement production from FeNi-ERF slag, limestone and diasporic bauxite. *Cement and Concrete Research* 34, 941–947.
- Edwards, R. & Atkinson, K., 1986 - Ore deposit geology. Chapman & Hall, 446p.
- Garrels, R. M. & Christ, C. L., 1965 - Solution, Minerals and Equilibria. Harper and Row, New York, 450 p.
- Hallberg, J. A., 1984 - A geochemical aid to igneous rocks identification in deeply weathered terrain. *Journal of Geochemical Exploration* 20, 1-8.
- Halvac, J., 1983 - The technology of glass and ceramics: An introduction. Glass Science Technology, 431p.
- Harbon, P. & Dickson, T., 1983 - Non metallurgical grades-bauxites crème de la crème. *Industrial minerals* 192, 25- 43.
- Hill, I. G., Worden, R. H. G. & Meighan, I. G., 2000 - Geochemical evolution of a paleolaterite: the interbasaltic formation, Northern Ireland. *Chemical Geology* 166, 65-84.
- Hudson, E. A., Terminello, L. J., Viani, B. E., Denecke, M., Reich, T. & Allen, P. G., 1999 - The structure of U<sup>6+</sup> sorption complexes on vermiculite and hydrobiotite. *Clays and Clay Minerals* 47, 439- 457.
- Kameni, D.C. & Efthekhar-Nezhad, J., 1977. Mineralogy of the Permian laterite of NW Iran. *Tschermaks mineralogische und petrographische Mitteilungen* 24, 195-204.
- Laskou, M. & Economou-Eliopoulos, M., 2007 - The role of microorganisms on the mineralogical and geochemical characteristics of the Parnassos-Ghiona bauxite deposits, Greece. *Journal of Geochemical Exploration*, 93, 67-77.
- Ma, J., Wei, G., Xu, Y., Long, W. & Sun, W., 2007- Mobilization and re-distribution of major and trace elements during extreme weathering of basalt in Hainan Island, South China. *Geochimica et Cosmochimica Acta* 71, 3223-3237.
- Mameli, P., Mongelli, G. & Dinelli, E., 2007 - Geological, geochemical and mineralogical features of some bauxite deposits from Nurra (western Sardinia, Italy): Insights on conditions of formation and parental affinity. *International Journal of Earth Sciences* 96, 887-902.
- Manning, D. A. C., 1995 - Introduction to industrial minerals. Chapman and Hall, London, 279p.
- Marques, J. J., Schulze, D. G., Curi, N. & Mertzman, S. A., 2004 - Trace element geochemistry in Brazilian Cerrado soils. *Geoderma* 121, 31-43.
- Muggler, C. C., 1988 - Polygenetic oxisols on Tertiary surfaces, Minas Gerais Brazil. Ph.D thesis, Wageningen University, Netherlands, 285p.
- Murakami, T., Ohnuki, T., Isobe, H. & Sato, T., 1997 - Mobility of Uranium during weathering, *American Mineralogist* 82, 888-899.
- Mutakyahwa, M. K. D., Ikingura, J. R. & Mruma, A. H., 2003 - Geology and geochemistry of bauxite deposits in Lushoto District, Usambara Mountains, Tanzania. *Journal of African Earth Sciences* 36, 357-369.
- Muzaffer-Karadag, M., Kupeli, S., Arik, F., Ayhan, A., Zedef, V. & Doyen, A., 2009 - Rare earth element (REE) geochemistry and genetic implications of the Mortas bauxite deposit (Seydisheir/Konya-Southern Turkey). *Chemie der Erde-Geochemistry* 69, 143-159.
- Ndjigui, P., Bilong, P., Bitom, D. & Dia, A., 2008 - Mobilization and redistribution of major and trace elements in two weathering profiles developed on serpentinites in the Lomie ultramafic complex, southeast Cameroon. *Journal of African Earth Sciences* 50, 305-328.
- Nesbitt, H. W. & Wilson, R. E., 1992 - Recent chemical weathering of basalt. *American Journal of Sciences* 292, 740-777.
- Newman, A. D. C., 1987 - Chemistry of clays and clay minerals. *Mineralogical Society, Monograph* 6, 1-480.
- Özlu, N., 1983 - Trace element contents of karst bauxites and their parent rocks in the Mediterranean belt. *Mineralium Deposita* 18, 469-476.
- Patino, L. C., Velbel, M. A., Price, J. R. & Wade, J. A., 2003 - Trace element mobility during spheroidal weathering of basalts and andesites in Hawaii and Guatemala. *Chemical Geology* 202, 343-364.
- Plank, T. & Langmuir, C. H., 1988 - The chemical composition of subducting sediment and its consequences for the crust and mantle. *Chemical Geology* 145, 325-394.
- Schellmann, W., 1983 - A new definition of laterite. *Natural Resources and Development* 18, 7-21.
- Schroll, E. & Sauer, D., 1968 - Beitrag zur geochemie von titan, chrom, nikel, cobalt, vanadium und molibdan in bauxitischen gestemen und problem der stofflichen herkunft des aluminiums. *Travaux de ICSOBA*, Zagreb 5, 83-96.
- Schwertmann, U. & Pfab, G., 1996 - Structural V and Cr in lateritic iron oxides: genetic implications. *Geochimica et Cosmochimica Acta* 60, 4279-4283.
- Sparks, D. L., 1995 - Environmental soil chemistry. Academic Press, New York, 267p.
- Taboada, T., Cortizas, A. M., Garcia, C. & Garcia-Rodeja, E., 2006 - U and Th in weathering and pedogenetic profiles developed on granitic rocks from NW Spain. *Science of the Total Environmental* 356, 192-206.
- Temur, S. & Kansun, G., 2006 - Geology and petrography of the Masatdagı diasporic bauxites, Alanya, Antalya, Turkey. *Journal of Asian Earth Sciences* 27, 512-522.
- Voicu, G., Bardoux, M. & Voicu, D., 1997 - Mineralogical norm calculations applied to tropical weathering profiles. *Mineralogical Magazine* 61, 185-196.
- Zarasvandi, A., Charchi, A., Carranza, E. J. M. & Alizadeh, B., 2008 - Karst bauxite deposits in the Zagros Mountain Belt, Iran. *Ore Geology Reviews* 3, 4521-532.
- Zarasvandi, A., Zamanian, H. & Hejazi, E., 2010 - Immobile elements and mass changes geochemistry at Sar-Faryab bauxite deposit, Zagros Mountains, Iran. *Journal of Geochemical Exploration* 107, 77-85.

# Mineralogy, Geochemistry and Industrial Applications of Darzi-Vali Bauxite Ores, East of Bukan, NW of Iran

A. Abedini <sup>1\*</sup>, S. Alipour <sup>1</sup> & M. Khosravi <sup>2</sup>

<sup>1</sup>Associate Professor, Department of Geology, Faculty of Sciences, Urmia University, Urmia, Iran

<sup>2</sup> M. Sc., Department of Geology, Faculty of Sciences, Urmia University, Urmia, Iran

Received: 2012 November 26

Accepted: 2013 May 07

## Abstract

The Darzi-Vali bauxite deposit is located in ~20 km east of Bukan, south of West-Azabaidjan province (NW Iran). This deposit developed as stratiform layers and lenses within carbonate rocks of the Ruteh Formation (middle Permian). The mineralogical studies indicated that the surface waters with oxidizing-acidic nature and the underground waters with reducing-basic nature played an important role during the development and evolution of this deposit. Based on field evidences and geochemical studies, the basaltic rocks are the most probable parent rock of this deposit. Calculations of enrichment factor revealed that the elements of Si, Ca, Mg, Na, K, Mn, Co, Rb and Hf were leached during development of this deposit and the elements of Al, Ti, V, Th, Ga, Zr, Nb, U, and Cr were enriched. This is while the elements of Fe, P, Ni, Ba, and Y have borne leaching-fixation processes. The obtained data indicated that the factors such as adsorption, scavenging, residual concentrations, buffering of weathering solutions by carbonate bedrock, mineralogical control, differences in intense of alteration, organic matter, and fluctuation of underground water tables have played pronounced roles in distribution of major, minor, and trace elements in this deposit. This study also revealed that the Fe-poor and Fe-rich ores of this deposit have appropriate properties for being used in refractory and cement industries, respectively.

**Keywords:** Bauxite, Geochemistry, Distribution of elements, Industrial applications, Darzi-Vali, Bukan.

For Persian Version see pages 293 to 304

\*Corresponding author: A. Abedini; E-mail: abedini2020@yahoo.com